

II.序 摘壁により補強された自然斜面は、岩と裏込め土の境界としての不連続面を有する非均質体である。この系の安全性は、大域的には、摘壁を含む斜面に対して、小域的には、摘壁自身に対して天々検討される必要がある。著者らは、飛騨川沿いの某所を解析のモデルに選び、その非均質系の大域的安定性を検討するため、斜面全域の応力場問題を先に^[1]扱った。本論文では、これに引き続き、小域として、摘壁の土圧分布、変位場を中心に行う。解析に際しては、均質体において適用できるケーロン理論を、二つに区分化された均質体から成るとした系に適用する。また、これとは別に、系の状態を時間的過程の上で区分化し、区分化されたそれを用いて、JOINT要素を含む有限要素法(鉛直等方)を用いる。

1. 解析モデルと解析方法 A. モデル。図1に示すように、崩壊前の自然斜面の系を状態1、崩壊後のそれを同2、摘壁設置を同3とした三つの状態を考え、系の形状、材料定数は図のとおりである。摘壁は、上段摘壁と下段のそれをとに分ける。裏込め土は、摘壁の施工にあわせて充填される。この充填の程度は、母岩、裏込め土、コンクリートの三者の間のスペリの程度にのみ書き換え、これをJOINT要素の定数(k_s -スペリ、 k_a -スペリと直角方向のバネ定数)により表現する。ここでは、 $k_s = 10^7 \text{ N/m}^3$ 、 $k_a = 0 \sim 10^7 \text{ N/m}^3$ といい、系が一次元平面歪みの状態にあるとする。

B. 増分状態の系。摘壁の存在そのものは、状態3と状態2との差の状態(増分の状態)で特徴づけられ、つりあい式は以下のようになる。状態2は外乱及び材料特性の無変動のもので安定であり、剛性行列K、変位ベクトルU、荷重ベクトルPにより、力のつりあい式は $K_a U_a^2 = P_a^2$ (1) である。ここに指標aは母岩、指標bは状態番号。状態3のつりあいは、指標bを摘壁に関するとして、 $\begin{bmatrix} K_a & K_{ab} \\ K_{ba} & K_b \end{bmatrix} \begin{bmatrix} U_a^2 \\ U_b^2 \end{bmatrix} = \begin{bmatrix} P_a^2 \\ P_b^2 \end{bmatrix}$ (2)

である。増分状態の量にバーをつけると、 $U_a^3 = U_a^2 + \bar{U}_a$ 、 $U_b^3 = \bar{U}_b$ 、 $P_a = 0$ 、 $\bar{P}_b = P_b^3$ 。これらを式(2)に代入し、式(1)と $K_{ab} U_a^2 = 0$ 等の条件により、増分状態のつりあいは $\begin{bmatrix} K_a & K_{ab} \\ K_{ba} & K_b \end{bmatrix} \begin{bmatrix} \bar{U}_a \\ \bar{U}_b \end{bmatrix} = \begin{bmatrix} 0 \\ P_b \end{bmatrix}$ (3) となる。

2. 斜面全域の応力分布 増分状態作成のため、まず各状態の応力分布を把握する。図2に、最大主応力の方向と分布及び主応力差の分布を各状態について示す。ただし、状態3は母岩が全域でや3人た状態とも考えられ、ここでは、 $k_s = k_a = 10^7 \text{ N/m}^3$ 。この図から、状態2の、斜面中腹表面(=比較的大きい値の主応力差域)は、摘壁の設置に伴い、余剰山側へと移動する。これは、母岩自重が裏込め土を通して、摘壁に分担されたためである。

3. 斜面土圧 A. ケーロン理論。摘壁を上段と下段のそれに分け(図3)、裏込め土の内部マサッ角45°、壁マサッ角30°として、上、下段の順でつりあい計算すると、同図中の数値の土圧分布を得る。これより、摘壁は裏側に対し安全であるが、摘壁の底部の斜面側に生ずる引張り域のため、スペリに対する十分な注意が必要である。

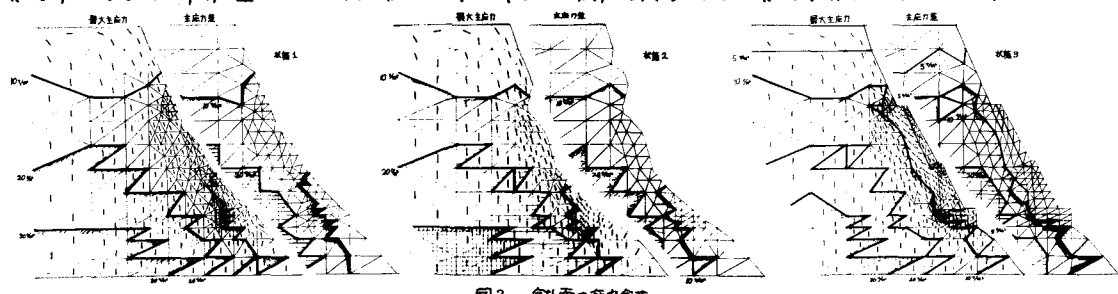


図1 解析モデル

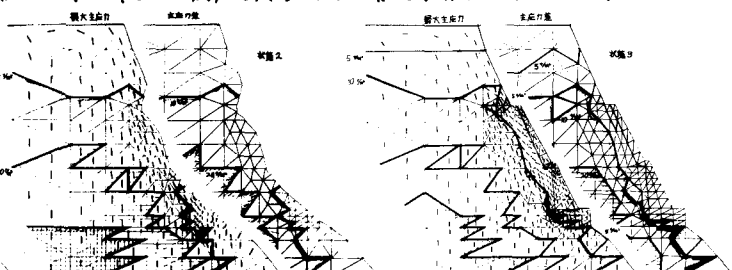


図2 斜面の応力分布

B. FEM。増分状態における擁壁に作用する力を、JOINT定数 $K_s = 10^9, 0 \text{ N/m}^3$ の二つの場合について図4に示す。ただしこの図では、壁面に働く力を剪断成分とそれと直角成分とに分けて、水平スベリはそれに準ずるものを右側に、鉛直の場合は左側に記した。上段擁壁の土圧分布は、クーロンのそれと違って、鉛直方向に一定もしくはやや逆の台形型に近い。これは、上段壁に接する裏込め土がその背後の母岩で主に支持されるためで、不連続面のスベリがない場合に特に顕著にみられる。またスベリのある場合は、壁体への荷重分担（裏込め土自重）が母岩のそれに対して大きくなる。上段擁壁に対する裏込め土の反力は、スベリのない 3.71 kN とそれもあるときの方が小さな値となる。また上段から下段への力の流れは、スベリのある場合がより場合により激しく、特に剪断力については、大きな力がとりあわされている。従ってこのことから、上壁体に関する裏込め土の力は主に下段壁に伝り、裏込め土自身への再配分はあまりないことになる。上段からの力の流れ

が壁体あるいは裏込め土を伝送の媒体としているので、下段上端での土圧は、を含めて大きな値をとりうる。これに対し下段下端では、母岩が張り出しているので、壁体のものには力が流れず、むしろ張り出し母岩が力を吸収している。勿論、荷重分担率は、スベリの程度に依存している。下段擁壁を支持する母岩における反力については、スベリが増すと鉛直成分力の値は減る。これは、母岩の荷重分担率が JOINT 定数の増加に対し減少していることを意味する。また、剪断成分力はスベリに無関係で一定値となることが、水平成分力に関する分担率の変動はあまりないと思われる。分担率についてより理解を深めるため、図5 左側に下段擁壁底部の反力を示す。図中、上段、下段の各壁体自重とクーロン理論の壁体合力絶対値とを記す。FEM の数値から下段壁の自重を引いた値を、作用方向を無視してクーロンの土圧合力と比較すると、前者がはるかに小さい。壁体を媒体とする力の伝送については、上段と下段の接部 JOINT 要素の合力で整理すると、図5 下側に結果が示される。この図から、スベリ程度と伝送の力とは荷重分担率のことで単調関係にあり、これは、上、下段壁の土圧作用合力、作用方向の表1にありてもみられる。

C. 搾壁の変形 壁体と裏込め土の変形をベクトル表示すると図6のようになる。母岩域は、JOINT 定数のいかんにかかわらず、裏込め土とはまったく独立して鉛直下に向て変形している。これに対し、上段擁壁と同じ高さの裏込め土は、スベリ量が増すと斜面山側に変形し、逆に下段壁では谷側に向けて変形する。このことから、裏込め土がかなり母岩で支持されているのが理解される。

D. 結び 不連続面を有する斜面と擁壁とかく成る系の变形挙動を把握するため、クーロン理論とFEMとにより、壁体の土圧分布を比較検討した。FEM の分布はクーロンのそれと異り、量的にはクーロンのそれより低めを与える。標準ながら、市原敏裕、松沢助教様、中村駿介、関根名也の方々に感謝を表す。
A. 参考文献 [1] 三本 “軟岩斜面と擁壁施工法” 第12回土木工学研究発表会
富権 実定義について 1997. P861-864.

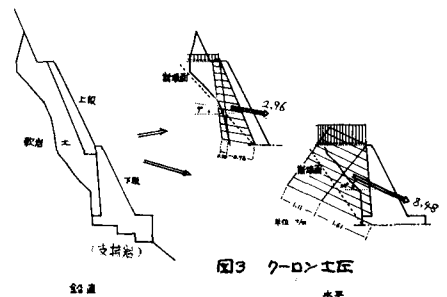


図3 クーロン土圧

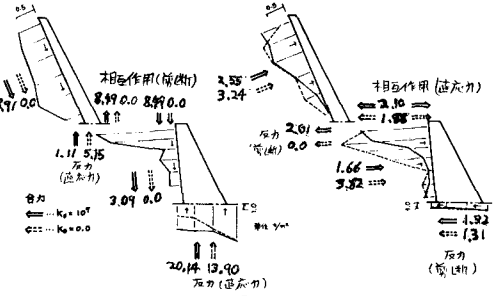


図4 土圧分布

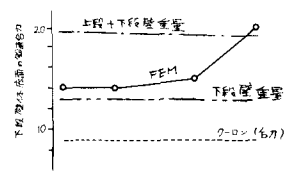


図5 反力

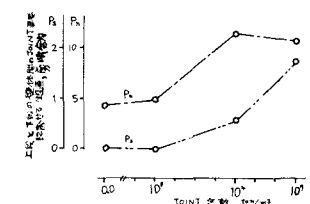


図5 反力

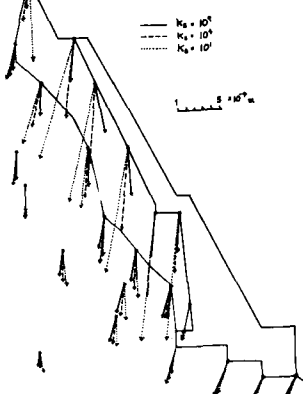


図6 变形ベクトル 壁合力

	JOINT 粘性係数 0	10^1	10^2
上段壁 総計値 方向 d_{44}	3.39 -20	4.36 -10	5.17 -7
下段壁 総計値 方向 d_{44}	2.32 26	4.73 7.2	3.51 27